

*В.Ф.Азаров, Ю.Т.Игнатьев, И.Н.Путалова и Д.А.Скрипкин*

## СРАВНИТЕЛЬНОЕ ИССЛЕДОВАНИЕ МОРФОМЕТРИЧЕСКИХ ПОКАЗАТЕЛЕЙ НИСХОДЯЩЕ-СИГМОВИДНОГО СФИНКТЕРА ПО ДАННЫМ ОПТИЧЕСКОЙ И ВИРТУАЛЬНОЙ КОЛОНОСКОПИИ

Кафедра топографической анатомии и оперативной хирургии (зав. — проф. Т.П.Храмых), кафедра лучевой диагностики (зав. — проф. Ю. Т.Игнатьев), кафедра анатомии человека (зав. — проф. И.Н.Путалова), Омская государственная медицинская академия Минздрава России, Клинический диагностический центр (главврач — Н.И.Орлова), г. Омск

Определены морфометрические показатели нисходяще-сигмовидного сфинктера (НСС) при различных формах просвета кишки в области расположения сфинктера у 32 пациентов обоего пола в возрасте от 20 лет до 71 года (средний возраст —  $48,0 \pm 2,2$  года). Оценены денситометрические показатели НСС и окружающих мягких тканей. Показаны прижизненные морфологические особенности нисходяще-сигмовидного перехода ободочной кишки, определена величина диаметра толстой кишки на уровне сфинктера. Полученные данные подтверждают анатомический характер сфинктеров толстой кишки и могут служить основой для интерпретации оптической и виртуальной эндоскопических картин и описания НСС для применения в дифференциальной диагностике и прецизионной хирургии различных заболеваний толстой кишки.

**Ключевые слова:** нисходяще-сигмовидный сфинктер, нисходяще-сигмовидный переход, морфометрические показатели, колоноскопия

В литературе детально описаны варианты строения и положения толстой кишки человека [3, 8], строения ее стенки, в частности — мышечной оболочки и различных частей сфинктерного аппарата [2, 4, 5, 9, 10, 16]. Однако отсутствуют достоверные сведения об анатомо-эндоскопических особенностях сфинктеров толстой кишки человека, имеющиеся данные фрагментарны, освещают отдельные вопросы проблемы, не систематизированы [5, 12]. Изучению морфологических особенностей сфинктеров толстой кишки живого человека, установлению параметров ее нормальной эндоскопической анатомии уделяется недостаточно внимания [7, 13].

Морфометрические значения анатомических структур, полученные при оптической колоноскопии (ОКС), приблизительны, основаны на субъективном восприятии исследуемых образований и ручном их измерении. В то же время, при компьютерной томографии (КТ) (виртуальной колоноскопии — ВКС) возможно получить более точные данные различных анатомических структур.

Нисходяще-сигмовидный сфинктер (НСС), или сфинктер Балли [2, 12, 15, 17], — внутренний анатомический сфинктер толстой кишки, расположенный в области перехода сигмовидной

ободочной кишки в нисходящую на уровне наружной губы гребня левой подвздошной кости. В этом участке авторами [2, 13, 14] в 100% случаев отмечено сужение просвета толстой кишки, описано круговое скопление гладкомышечных элементов, увеличивающее толщину собственной мышечной оболочки, что позволило им назвать эту часть толстой кишки мышечным каналикулярным сфинктером [15]. Толщина циркулярного мышечного слоя в области нисходяще-сигмовидного перехода составляет от  $850 \pm 16$  до  $1114 \pm 458$  мкм, что в 1,5–2,3 раза больше, чем до и после него [2, 16]. Нет единого мнения о природе данного сфинктера, большинство авторов считают его функциональным [13–16], участвующим в рефлексах, обеспечивающим перемещение кишечного содержимого по толстой кишке [17].

Постоянный рост частоты опухолевых поражений толстой кишки, включая сигмовидную ободочную кишку, зоны локализации сфинктеров, функциональные изменения со стороны сфинктеров сигмовидной кишки, приводящие к нарушению эвакуаторной функции ее, важность данных о топографии сфинктерных зон сигмовидной кишки для хирургического лечения ее заболеваний обо-

### Сведения об авторах:

Азаров Владимир Федотович (e-mail: avf.61@mail.ru), кафедра топографической анатомии и оперативной хирургии,  
Игнатьев Юрий Тимофеевич (e-mail: ogma.ray@rambler.ru), кафедра лучевой диагностики,  
Путалова Ирина Николаевна (e-mail: INPutalova@mail.ru), кафедра анатомии человека,  
Омская государственная медицинская академия Минздрава России, 644043, Омск, ул. Партизанская, 20;  
Скрипкин Дмитрий Александрович (e-mail: skripkinomsk1@mail.ru), Клинический диагностический центр, 644024, Омск, ул. Ильинская, 9

сновывают актуальность изучения структурно-функциональных особенностей НСС.

Целью настоящего исследования явилось сравнение морфометрических показателей нисходящего-сигмовидного сфинктера, полученных при ОКС и ВКС, для интерпретации анатомо-эндоскопической картины и использования этих данных в дифференциальной диагностике и прецизионной хирургии различных заболеваний толстой кишки.

**Материал и методы.** Исследование основано на данных ОКС и ВКС, выполненных в эндоскопическом и лучевом отделах диагностического центра у 32 пациентов обоего пола в возрасте от 20 лет до 71 года, средний возраст  $48,0 \pm 2,2$  года, медиана — 50 лет, возраст большинства обследованных — 55 лет (мода). Стандартное отклонение составило 12,7.

Критериями включения в исследование являлись: наличие показаний к проведению ОКС и ВКС в виде жалоб на дисфункцию толстой кишки, добровольное информированное согласие пациентов на проведение исследования, зрелый и пожилой возраст больных, отсутствие признаков органических и воспалительных заболеваний толстой кишки.

Критериями исключения были перенесенные оперативные вмешательства на сигмовидной кишке, воспалительные заболевания толстой кишки, пациенты юношеского и старческого (моложе 20 и старше 75 лет) возраста. Исследование одобрено комитетом по этике Омской государственной медицинской академии.

ОКС выполнена 19 пациентам (11 женщин и 8 мужчин, средний возраст —  $48,4 \pm 3,3$  года, медиана — 53 года, мода — 55 лет, минимум — 21 год, максимум — 71 год, стандартное отклонение 13,8).

ВКС выполнена 13 пациентам (11 женщин и 2 мужчин, средний возраст —  $47,3 \pm 3,3$  года, медиана — 49 лет, мода — 49 лет, минимум — 20 лет, максимум — 66 лет, стандартное отклонение 11,4) с прицельным поиском НСС на основании типичной локализации и рентгенологической симптоматики с последующим морфометрическим исследованием выявленных анатомических структур.



Компьютерную томографию осуществляли на мультиспиральном 64-срезовом компьютерном томографе Toshiba Aquilion (Япония). Параметры сканирования: напряжение 120 кВ, экспозиция 250–300 мАс, толщина среза 0,5 мм.

ОКС проводили без премедикации и использования седативных препаратов, анальгетиков или спазмолитиков эндоскопом Olympus CF 40L (Olympus, Япония) с фиксацией изображения сфинктера Балли фотоаппаратом Olympus OM 1N (Olympus, Япония) и видеоэндоскопом Olympus CF V70L (Olympus, Япония) с фиксацией изображения с помощью программы Bechold TV 9.0 (Becholder International Ltd., Тайвань). Форму сфинктера определяли по аналогии с геометрическими фигурами [11].

Положение НСС при ОКС устанавливали по наличию видимого сужения просвета кишки в области сигмовидно-нисходящего перехода и видимой проекции этого сужения на переднюю брюшную стенку на границе левых паховой и подреберной областей по linea spinarum в виде ярко-красного светового пятна (трансиллюминация эндоскопа).

При ВКС изображение анатомических структур формируется из трехмерного слепка кишки, выделенного из окружающих мягких тканей; из трехмерного эндоскопического окна, симулирующего изображение, аналогичное ОКС; из аксиальных срезов компьютерной томографии; из фронтальной и сагиттальной реконструкций срезов КТ (рис. 1). Все данные изображения связаны между собой инструментом «Перекрест» («crosshair»), позволяющим выбрать интересующую область на одном из изображений и увидеть ее расположение на других реконструкциях. Этих данных достаточно для уточнения расположения любой точки тела человека или интересующего анатомического образования [7].

Положение НСС при ВКС определяли как область перехода сигмовидной кишки в нисходящую на уровне наружной губы подвздошного гребня левой подвздошной кости.

Форму просвета кишки в области сфинктера устанавливали по аналогии с геометрическими фигурами, при ОКС измеряли длину сторон (треугольная форма), длину большой и малой оси (овальная форма), внешний и внутренний диаметр (кольцевидная форма) с учётом увеличения оптической системы эндоскопа [11]. Площадь просвета кишки при треугольной его форме при ОКС определяли по формуле

Герона, при кольцевидной форме — по формуле:  $S = \pi/4(D^2 - d^2)$ , где  $D$  — внешний диаметр,  $d$  — внутренний диаметр; при овальной форме — по формуле для площади эллипса:  $S = \pi a \times b$ , где  $a$  — длина большой полуоси эллипса,  $b$  — длина меньшей полуоси эллипса.

Алгоритм изучения исследуемой области при ВКС включал: определение топографии сфинктера; длины сторон; диаметра просвета в области сфинктера; плотностных характеристик тканей, формирующих сфинктер, и окружающих мягких тканей [в единицах Хаунсфилда (Hounsfield units — HU)].

Рис. 1. Виртуальная колоноскопия.

А — слепок сигмовидной кишки; В — эндоскопическое окно с изображением нисходящего-сигмовидного сфинктера; С, Д, Е — сагиттальный, фронтальный и аксиальный срезы с изменением количественных показателей нисходящего-сигмовидного сфинктера

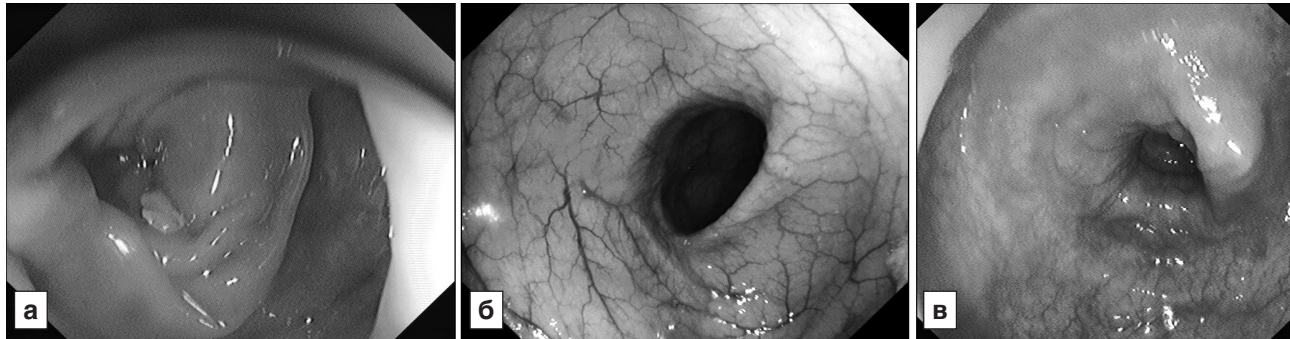


Рис. 2. Эндоскопические формы нисходящего-сигмовидного сфинктера: треугольная (а), овальная (б), кольцевидная (в)

Статистическую обработку полученных данных проводили с помощью программ SPSS 13 и Microsoft Excel для Windows.

Оценку типичности и вариабельности количественных величин проводили, определяя среднее арифметическое ( $\bar{x}$ ), среднее квадратичное отклонение ( $s$ ), среднюю ошибку среднего арифметического ( $s_{\bar{x}}$ ), медиану (Me), моду (Mo). Значимость различий между количественными признаками в двух не связанных группах наблюдений оценивали с помощью критерия Вилоксона—Манна—Уитни. Критический уровень значимости (P) при проверке статистических гипотез в данном исследовании принимали равным 0,05.

**Результаты исследования.** В области НСС чаще других выявлена треугольная форма просвета кишки — в 14 случаях (43,8%), у 10 женщин и 4 мужчин; овальная форма — в 9 случаях (28,1%), у 7 женщин и 2 мужчин, кольцевидная форма — в 6 случаях (28,1%), у 5 женщин и 4 мужчин (рис. 2).

Значения морфометрических показателей НСС при колоноскопии были следующими.

Средние значения длины сторон и площади НСС треугольной формы при ОКС были больше таких же при ВКС (таблица).

При оценке значимости различий между количественными признаками в двух группах наблюдений по критерию Вилоксона—Манна—Уитни эмпирическое значение  $U_{\text{эмп}}$  для длин сторон треугольной формы НСС при ОКС и ВКС находится в зоне неопределенности ( $U_{\text{эмп}}=4$ ;  $U_{\text{крит}}=3$ ,  $P<0,01$ ;  $U_{\text{крит}}=7$ ,  $P<0,05$ ), т. е. различия были значимы.

Эмпирическое значение ( $U_{\text{эмп}}$ ) для площадей треугольной формы НСС при ОКС и ВКС находится в зоне незначимости ( $U_{\text{эмп}}=10$ ,  $U_{\text{крит}}=3$ ,  $P<0,01$ ;  $U_{\text{крит}}=7$ ,  $P<0,05$ ), различия между площадями НСС при его треугольной форме не значимы. Эмпирическое значение ( $U_{\text{эмп}}$ ) для плотности складки, формирующей область НСС и окружающих тканей, при треугольной форме находится в зоне значимости ( $U_{\text{эмп}}=0$ ;  $U_{\text{крит}}=1$ ,  $P<0,05$ ).

#### Морфометрические показатели нисходящего-сигмовидного сфинктера при колоноскопии ( $\bar{x} \pm s_{\bar{x}}$ )

Исследованный показатель	Форма сфинктера					
	Треугольная		Овальная		Кольцевидная	
	ОКС (n=10)	ВКС (n=4)	ОКС (n=5)	ВКС (n=4)	ОКС (n=4)	ВКС (n=5)
Длина стороны, мм:						
l <sub>1</sub>	17±3	7,5±0,7	—	—	—	—
l <sub>2</sub>	16,8±2,1	5,3±0,4	—	—	—	—
l <sub>3</sub>	15,0±2,2	4,7±0,5	—	—	—	—
Длина осей, мм:						
большой	—	—	18,5±2,3	5,1±0,5	—	—
малой	—	—	10,2±2,9	4,9±0,6	—	—
Диаметр, мм:						
внешний	—	—	—	—	25±4	5,8±1,2
внутренний	—	—	—	—	11,3±2,7	5,3±1,3
Площадь поверхности, мм <sup>2</sup>	130±39	150±106	158±64	177±34	417±211	166±68
Плотность складки в области нисходящего-сигмовидного сфинктера, HU	—	27±7	—	12±11	—	32±6
Плотность окружающих тканей, HU	—	107±1,3	—	108±7	—	102±6

Примечание. ОКС — оптическая колоноскопия; ВКС — виртуальная колоноскопия; HU — единицы Хаунсфилда.

Средние значения длины большой оси, малой оси и площади при овальной форме НСС при ОКС были больше таковых при ВКС (см. таблицу). Различия между длиной больших осей НСС и его площадями при его овальной форме, полученные при ОКС и ВКС, были не значимы.

Эмпирическое значение ( $U_{эмп}$ ) для плотности складки, формирующей область НСС и окружающими тканями при овальной его форме, находится в зоне значимости ( $U_{эмп}=0$ ;  $U_{крит}=1$ ,  $P<0,05$ ).

Средние значения внешнего, внутреннего диаметра и площади НСС кольцевидной формы при ОКС были больше таковых при ВКС (см. таблицу).

Эмпирическое значение для плотности складки, формирующей область НСС и окружающих тканей при его кольцевидной форме, находится в зоне значимости ( $U_{эмп}=0$ ;  $U_{крит}=1$ ,  $P<0,05$ ).

Обсуждение полученных данных. НСС является одной из недостаточно изученных структурно-функциональных зон сфинктерного аппарата толстой кишки — узловых пунктов кишечного тракта.

В данном исследовании впервые при ОКС и ВКС установлены прижизненные морфометрические показатели НСС при различных формах просвета кишки в области его расположения [длина сторон, длина осей (ширина), величина диаметров, площадь; плотностные характеристики тканей в области сфинктера].

Значение морфометрических показателей НСС при ОКС по абсолютным значениям больше, чем при ВКС: длина сторон при треугольной форме просвета кишки в области расположения НСС при ВКС составила 42,8% от таковой при ОКС, длина большой оси при овальной форме СНС при ВКС — 27,6% от установленной при ОКС, внешний диаметр для кольцевидной формы СНС при ВКС составил 22,9% от определенной при ОКС.

Различия в значениях могут быть объяснены разной технологией проведения измерений при ОКС и ВКС. Так, при ОКС длительность исследования составляет от 10 до 20 мин, соответственно вводится большее количество воздуха, отмечается большее растяжение стенок кишки; измерение морфометрических показателей выполнялось с учетом увеличения оптической системы эндоскопа. При ВКС длительность исследования не превышает 5 мин, воздуха вводится меньше, измерения проводятся в полуавтоматическом режиме с использованием компьютерного программного обеспечения КТ.

Разделяя точку зрения на анатомическую природу сфинктеров толстой кишки, в том числе

НСС, должны отметить, что описание НСС в виде слепого кармана с уплощенными циркулярными складками В.Ф. Байтингером и А.В. Аксененко [2] было связано, по-видимому, с выполнением осмотра зоны сфинктера на оптическом эндоскопе без учета положения пациента [6] и формы сфинктера [1].

В настоящее время нет единой точки зрения на природу сфинктеров толстой кишки. Одни исследователи считают их функциональными [13–17], другие — анатомическими образованиями [2, 4, 5, 9, 10]. Полученные в настоящем исследовании данные о плотностных характеристиках стенки толстой кишки в области сфинктерных и околосфинктерных зон нисходящего-сигмовидного перехода подтверждают анатомическую природу сфинктеров толстой кишки.

Определенные в настоящем исследовании морфометрические показатели НСС уточняют имеющиеся сведения, а для различных форм просвета кишки в области расположения сфинктера являются впервые выявленными. Для описания и интерпретации анатомо-эндоскопической картины НСС и последующего применения в дифференциальной диагностике и прецизионной хирургии различных заболеваний толстой кишки могут быть использованы полученные нами показатели при треугольной и кольцевидной формах просвета кишки и показатели плотности складки, формирующей сфинктер при всех установленных формах.

Представленные данные о плотности тканей в области НСС и окружающих его тканей уточняют морфологические особенности изучаемой области. Так, для мышечной ткани характерная плотность составляет около 35 HU, для жировой ткани — около 100 HU [7].

Метод ВКС делает возможным прижизненное морфометрическое исследование изучаемой области без использования традиционных инвазивных методов, позволяет определить количественные показатели плотностных характеристик стенки толстой кишки, окружающих ее тканей, и установить наличие мышечной ткани в области НСС, как субстрата сфинктерного аппарата данной анатомической зоны.

#### ЛИТЕРАТУРА

1. Азаров В.Ф. и Путалова И.Н. Эндоскопические формы сфинктеров толстой кишки при различных конституциональных типах. В кн.: Актуальные вопросы и достижения современной антропологии: Материалы междунар. науч. конф. Новосибирск, изд. НГМУ, 2006, с. 4–6.
2. Байтингер В.Ф. и Аксененко А.В. Сфинктеры сигмовидной ободочной кишки человека. В кн.: Сфинктеры пищеварительного тракта. Томск, Красное знамя, 1994, с. 174–181.

3. Горбунов Н.С., Самотесов П.А., Киргизов И.В. и Комисаров С.В. Морфология толстой кишки. Красноярск, изд. Красноярск. гос. мед. акад., 2002.
4. Григорьева Л. В. Сфинктеры поперечной ободочной кишки человека. В кн.: Сфинктеры пищеварительного тракта. Томск, Красное знамя, 1994, с. 163–173.
5. Колесников Л. Л. Сфинктерология. М., ГЭОТАР-Медиа, 2008.
6. Нечипай А. М., Будзинский А. А., Коваленко Т. В. и Кузьмин А. И. «Эндоскопическая» анатомия двенадцатиперстной кишки при отсутствии признаков оперативных вмешательств (Литературная справка, критическая оценка традиционно используемых в эндоскопии терминов и ориентиров). Рос. журн. гастроэнтерол., гепатол., колопроктол., 2002, т. 12, № 5, с. 72–77.
7. Прокоп М. и Галански М. Спиральная и многослойная компьютерная томография. Т. 1. М., МЕДпресс-информ, 2006.
8. Романов П. А. Клиническая анатомия вариантов и аномалий толстой кишки. М., Медицина, 1987.
9. Сакс Ф.Ф. Морфологические основы сфинктеров пищеварительного тракта. В кн.: Физиология и патология сфинктерных аппаратов пищеварительной системы: Тез. докл. Всес. симпоз. (Томск, 6–8 сентября 1984 г.). Томск, изд. ТГУ, 1984, с. 33–38.
10. Сакс Ф.Ф., Аксененко А. В. и Усынин А. Ю. Нервно-мышечный аппарат илеоцекального отдела кишечника человека. В кн.: Сфинктеры пищеварительного тракта. Томск, Красное знамя, 1994, с. 152–162.
11. Самоделкина Т. К. Различия в анатомическом строении и микротопографии гастродуоденального перехода и их клиническое значение: Автореф. дис. ... канд. мед. наук. Оренбург, 2002.
12. Сотников В. Н., Разживина А. А., Веселов В. В. и Кузьмин А. И. Колоноскопия в диагностике заболеваний толстой кишки. М., изд. Рос. мед. акад. последипл. образов., 2006.
13. Balli R. Le roentgendiagnostic surtou au point de vue des organs de l'abdomen. Ital. radiol., 1929, № 3. p. 80–106.
14. Balli R. The sphincters of the colon. Radiology, 1939, v. 33, p. 372–376.
15. Didio L. J. A. and Anderson M. C. The Sphincters of Digestive System. Baltimore: The Williams and Wilkins Co., 1968.
16. Shafik A. A., Asaad S., Loka M. M. et al. Colosigmoid junction: morphohistologic, morphometric, and endoscopic study with identification of colosigmoid canal with sphincter. Clin Anat., 2009, v. 22 № 2, p. 243–249.
17. Templeton A. W. Colon spincters simulating organic disease. Radiology, 1960, v. 75, № 2, p. 237–242.

Поступила в редакцию 15.07.2013  
Получена после доработки 10.01.2014

## COMPARATIVE STUDY OF MORPHOMETRIC PARAMETERS OF THE DESCENDING SIGMOID SPHINCTER ACCORDING TO THE DATA OF OPTICAL AND VIRTUAL COLONOSCOPY

V.F.Azarov, Yu.T.Ignatiev, I.N.Putalova  
and D.A.Skripkin

Morphometric parameters of a descending sigmoid sphincter (DSS) were defined in 32 patients of both sexes aged 20–71 years (average age:  $48.0 \pm 2.2$  years) with various forms of colon lumen at the site of sphincter. Densitometric indices of DSS and surrounding soft tissues were estimated. Vital morphological peculiarities of descending-sigmoid junction of the colon were demonstrated, and the diameter of the colon at the level of a sphincter was defined. The data obtained confirm the anatomical character of the colon sphincters and may be used as a basis for the interpretation of optical and virtual endoscopic images and DSS description for the application in differential diagnostics and precision surgery of various colon diseases.

**Key words:** descending-sigmoid sphincter, descending sigmoid junction, morphometric indices, colonoscopy

Department of Operative Surgery and Topographic Anatomy,  
Department of Ray Diagnostics, Omsk State Medical Academy,  
Clinical Diagnostics Center, Omsk